Antennes

J.-M Friedt

Dlan

Rilan de liais

Maxwel

Au-delà du dipôl

Combinaison de dipôles – polar.

Guide d'onde

D/····

d'antenn

Ouverture

synthétiqu

Principe de réciprocité

Antennes

J.-M Friedt

 ${\sf FEMTO\text{-}ST/d\acute{e}partement\ temps\text{-}fr\acute{e}quence}$

jmfriedt@femto-st.fr

 ${\tt transparents~\grave{a}~jmfriedt.free.fr}$

7 avril 2016

Objectif de cette présentation

S'approprier quelques concepts sur les liaisons sur porteuse radiofréquence, et sur l'élément qui convertit le signal électrique en signal électromagnétique

- 1 Pourquoi une liaison radiofréquence? multiplexer le spectre et rendre le signal dans un format plus approprié pour sa transmission par faisceau électromagnétique
- Bilan de liaison équation de Friis
- 3 De la ligne de transmission au dipôle et au monopôle
- Diagramme de rayonnement aspects expérimentaux et simulation (NEC2)
- 6 Autres antennes polarisation et combinaison de dipôles, patch, parabole, cornet, active
- 6 Guide d'onde et fréquence de coupure (diriger le faisceau)
- Réseaux d'antennes diagramme de rayonnement d'éléments rayonnants déphasés, et antenne à ouverture synthétique (RADAR)

Maxwell

Combinaison de

C 11 11 1

Guide d Oil

d'antenne

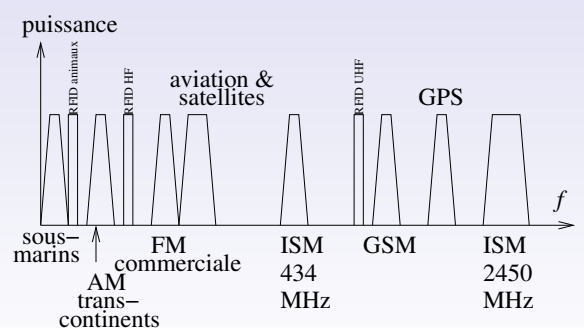
Ouverture

synthétiqu

Principe or réciprocit

Liaison radiofréquence

- remplacer le fil par une onde électromagnétique
- $\lambda = c/f \Rightarrow \lambda[m] = 300/f[MHz]$
- VLF pour pénétrer dans des milieux conducteurs/très longue portée
- VHF-UHF: 30-1000 MHz
- SHF (2400 MHz) $\Rightarrow \lambda = 12,5$ cm
- diverses porteuses pour multiplexer le spectre radiofréquence et transmettre diverses informations sur diverses bandes spectrales



La fréquence de porteuse n'a pas d'importance, seule la bande passante définit la quantité d'information échangée.

Dilati de ilais

IVIdAWCII

Au-dela du dipol

Combinaison de dipôles – polar.

Guide d'ond

D. /

Keseaux

Ouverture

synthétiqu

Principe

Porteuse et modulation

- Le morse : présence (1) ou absence (0) de porteuse
- transposition en fréquence du télégraphe
- peu robuste au bruit
- nommé dans la littérature OOK (On-Off Keying)
- évolution vers ASK (Amplitude Shift Keying), FSK (Frequency Shift Keying), PSK (Phase Shift Keying)... pour les transmissions numériques

Question : comment transposer un signal dans une bande de fréquence adéquate à l'application envisagée ?

Plan

Bilan de liaisor

Bilan de liaiso

Maxwell

Au-delà du dipôle

Combinaison d dipôles – polar

Guide d'or

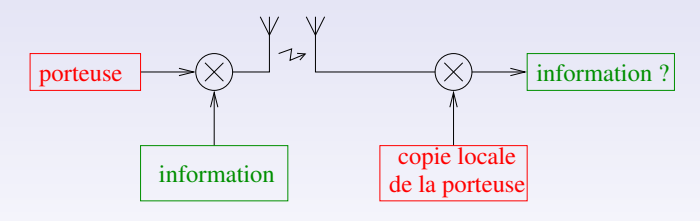
Réseaux

Ouverture

Principa

Modulation et démodulation

- la porteuse fournit une référence de temps pour synchroniser les deux interlocuteurs
- un signal RF est caractérisé par 3 grandeurs (amplitude, fréquence, phase) qu'on peut faire varier pour transporter une information
- un oscillateur local reproduit la porteuse, qu'il faut identifier pour l'éliminer et extraire le signal (modulation)



Seul un mécanisme *non-linéaire* (multiplication) permet de sommer des fréquences.

Au-dela du dipo

Combinaison d dipôles – polar

Guide d'or

Réseaux

Ouverture

synthétiqu

réciprocit

Bilan de liaison

- une puissance radiofréquence (électrique) est rayonnée, soit de façon isotrope soit de façon directive avec un gain d'antenne $G_1: P_E \times G_1$
- cette puissance se répartit sur une sphère centrée sur l'émetteur : en cas isotrope, la surface de cette sphère est, à distance d, $4\pi d^2$
- si $G_1 > 1$, alors seule la fraction $4\pi d^2/G_1$ est illuminée
- cette sphère intersecte un récepteur qui détecteur sur une sphère de 4π stéradians une surface caractéristiques de λ^2
- ce récepteur présente éventuellement un gain de réception ${\it G}_{2}$

$$\frac{P_R}{P_E} = G_1 G_2 \left(\frac{\lambda}{4\pi d}\right)^2$$
 : équation de Friis

Application numérique :

- un satellite NOAA POES¹ émet 5 W (37 dBm) à 137 MHz avec un gain de 3 dBi et orbite à 870 km
- 2 $FSPL = 134 \text{ dB} \Rightarrow P_R = -95 \text{ dBm}$
- 3 DVB-T : limite de détection autour de -110 dBm (10 dB SNR)
- 1. https://www.nasa.gov/pdf/111742main_noaa_n_booklet.pdf < 3 > 3

MIDAWCII

Combinaison de

dipoles polal

oulde a oil

Réseaux

Ouverture synthétiqu

Principe o

Bilan de liaison

- une puissance radiofréquence (électrique) est rayonnée, soit de façon isotrope soit de façon directive avec un gain d'antenne $G_1: P_E \times G_1$
- cette puissance se répartit sur une sphère centrée sur l'émetteur : en cas isotrope, la surface de cette sphère est, à distance d, $4\pi d^2$
- si $G_1 > 1$, alors seule la fraction $4\pi d^2/G_1$ est illuminée
- cette sphère intersecte un récepteur qui détecteur sur une sphère de 4π stéradians une surface caractéristiques de λ^2
- ce récepteur présente éventuellement un gain de réception ${\it G}_{2}$

$$\frac{P_R}{P_E} = G_1 G_2 \left(\frac{\lambda}{4\pi d}\right)^2$$
 : équation de Friis

Application numérique :

- un satellite IRIDIUM¹ émet 12 W (11 dBW) EIRP à 1620 MHz et orbite à 780 km
- 2 $FSPL = 154 \text{ dB} \Rightarrow P_R = -143 \text{ dBm}(+27 \text{ dB ampli ant.}=-116 \text{ dBm})$
- 3 DVB-T : limite de détection autour de -95 dBm (10 dB SNR)
- 1. www.erodocdb.dk/docs/doc98/official/pdf/ECCRep171.pdf > 3

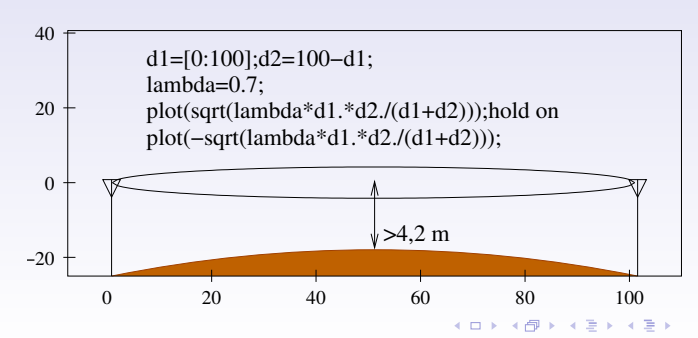
Rilan de liaison

Bilan de liaison (sol)

- réflexions/chemins multiples (interférences destructives, fading)
- zone de Fresnel (zone au-delà de laquelle les réflexions multiples interfèrent)

$$r=\sqrt{rac{n\lambda\cdot d_1\cdot d_2}{d_1+d_2}}$$
, $n\in\mathbb{N}$ $(n=2p$ interférence constructive, $n=2p+1$ interférence destructive)

- $r < \sqrt{\lambda D/2}$ si $D = d_1 + d_2$ (cf champ proche v.s champ lointain)
- absorption par l'environnement (eau, sol)



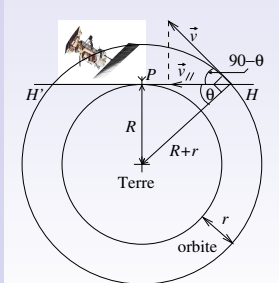
Bilan de liaison

Bilan de liaison (sol)

- réflexions/chemins multiples (interférences destructives, fading)
- zone de Fresnel (zone au-delà de laquelle les réflexions multiples interfèrent)

$$r=\sqrt{rac{n\lambda\cdot d_1\cdot d_2}{d_1+d_2}}$$
, $n\in\mathbb{N}$ $(n=2p$ interférence constructive, $n=2p+1$ interfèrence destructive)

- $r < \sqrt{\lambda D/2}$ si $D = d_1 + d_2$ (cf champ proche v.s champ lointain)
- absorption par l'environnement (eau, sol)



Distance d à laquelle un émetteur à l'altitude r peut communiquer :

$$\sin(\theta) = \frac{R}{r+R}$$
 et $d = R \times (\pi/4 - \theta)$
 $\Rightarrow d = R \arccos\left(\frac{R}{r+R}\right)$
où $R \simeq 6400$ km

(LEO : $r = 800 \text{ km} \Rightarrow d \simeq 3000 \text{ km}$)

(Puy de Dome : $r \simeq 1,5 \text{ km} \Rightarrow d \simeq 140 \text{ km}$)

Plan

Bilan de liaison

Maxwell

Combinaison de

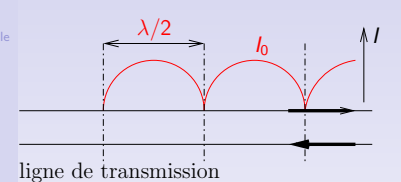
Guide d'Oild

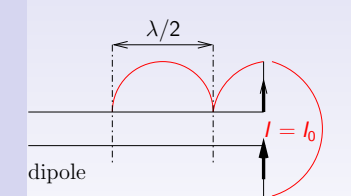
d'antennes

Ouverture synthétique

Principe d

De la ligne de transmission au dipôle ²





- Les lignes de champ s'annulent dans la ligne de transmission
- Les lignes de champ se somment dans l'élément rayonnant
- Courant maximum au point d'alimentation (feed) et nul aux extrémités
- Brins de longueur $\lambda/4$ pour donner un dipôle (longueur : $\lambda/2$)
- Polarisation rectiligne
- $Z = 73 + j \cdot 42, 5 \Omega$

2. C.A. Balanis, *Antenna Theory, Analysis and Design, 3rd Ed.*, Wiley Interscience (2005)

rian

Bilan de liais

Dipôle

iviaxweii

Au-dela du dipo

Combinaison de dipôles – polar.

Guide d'ond

rteseaux d'antenne

Ouverture

synthétiq

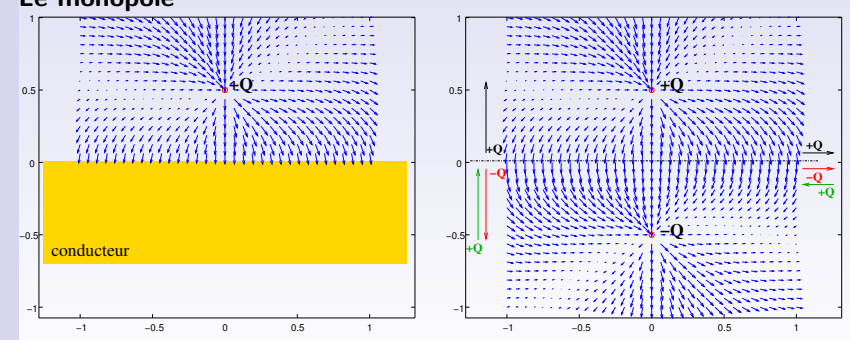
Principe de réciprocité

Le dipôle

Le dipôle est à la base de presque tous les éléments rayonnant :

- diagramme de rayonnement du dipôle seul
- la Yagi est un dipôle dont le rayonnement est orienté par un réseau
- au foyer d'une parabole
- polarisation circulaire : les dipôles croisés et déphasés.

Le monopôle³



3. J.D. Kraus & K.R. Carver, *Electromagnetics*, McGraw-Hill (1981), p.295

Plan

Bilan de liaiso

Dipôle

Le dipôle est à la base de presque tous les éléments rayonnant :

- diagramme de rayonnement du dipôle seul
- la Yagi est un dipôle dont le rayonnement est orienté par un réseau
- au foyer d'une parabole
- polarisation circulaire : les dipôles croisés et déphasés.

Le monopôle

- Principe des charges miroirs : un élément rayonnant placé au dessus d'un plan métallique est équivalent à un élément rayonnant + sa copie par symétrie p.r au plan métallique
- monopôle = élément rayonnant vertical au dessus d'un plan de masses
- charges miroir transforme monopôle + plan de masse en dipôle
- élément rayonnant dans les cornets

Ouverture synthétiqu

Principe (

dipôles – polar

Guide a ond

Réseaux

Ouverture synthétiqu

Principe de réciprocité

Calcul du diagramme de rayonnement du dipôle

Toute la théorie des antennes se déduit des équations de Maxwell³

$$\begin{cases} \vec{\nabla} \wedge \vec{E} = -\frac{\partial \vec{B}}{dt} \\ \vec{\nabla} \cdot \vec{B} = 0 \\ \vec{\nabla} \wedge \vec{B} = \mu \left(\vec{j} + \varepsilon \frac{\partial \vec{E}}{dt} \right) \\ \varepsilon \vec{\nabla} \cdot \vec{E} = \rho \end{cases}$$

pour une distribution de charges ρ et de courants \vec{j} qui vérifient par conservation de la charge $\vec{\nabla} \cdot \vec{j} + \frac{\partial \rho}{\partial t} = 0$ En régime périodique de pulsation ω

$$\begin{cases} \vec{\nabla} \wedge \vec{E} = -j\omega \vec{B} \\ \vec{\nabla} \cdot \vec{B} = 0 \\ \vec{\nabla} \wedge \vec{B} = \mu \left(\vec{j} + j\omega \varepsilon \vec{E} \right) \\ \varepsilon \vec{\nabla} \cdot \vec{E} = \rho \end{cases}$$

et
$$\vec{\nabla} \cdot \vec{i} + i\omega \rho = 0$$

Calcul du diagramme de rayonnement du dipôle

Maxwell

Toute la théorie des antennes se déduit des équations de Maxwell³

rappel
$$\begin{pmatrix} \partial_x \\ \partial_y \\ \partial_z \end{pmatrix} \cdot \begin{pmatrix} E_x \\ E_y \\ E_z \end{pmatrix} = \frac{\partial E_x}{\partial x} + \frac{\partial E_y}{\partial y} + \frac{\partial E_z}{\partial z}$$

pour une distribution de charges ρ et de courants \vec{j} qui vérifient par conservation de la charge $\vec{\nabla} \cdot \vec{j} + \frac{\partial \rho}{\partial t} = 0$ En régime périodique de pulsation ω

$$\begin{cases} \vec{\nabla} \wedge \vec{E} = -j\omega \vec{B} \\ \vec{\nabla} \cdot \vec{B} = 0 \\ \vec{\nabla} \wedge \vec{B} = \mu \left(\vec{j} + j\omega \varepsilon \vec{E} \right) \\ \varepsilon \vec{\nabla} \cdot \vec{E} = \rho \end{cases}$$

et
$$\vec{\nabla} \cdot \vec{j} + j\omega \rho = 0$$

^{3.} https://epfl.wikispaces.com/file/view/REA_Polycop_0708.pdf

Maxwell

Calcul du diagramme de rayonnement du dipôle

Toute la théorie des antennes se déduit des équations de Maxwell³

$$\mathsf{rappel} \, \left(\begin{array}{c} \partial_x \\ \partial_y \\ \partial_z \end{array} \right) \wedge \left(\begin{array}{c} E_x \\ E_y \\ E_z \end{array} \right) = \left(\begin{array}{c} \partial E_z/\partial y - \partial E_y/\partial z \\ \partial E_x/\partial z - \partial E_z/\partial x \\ \partial E_y/\partial x - \partial E_x/\partial y \end{array} \right)$$

pour une distribution de charges ho et de courants $ec{j}$ qui vérifient par conservation de la charge $\vec{\nabla} \cdot \vec{j} + \frac{\partial \rho}{\partial t} = 0$ En régime périodique de pulsation ω

$$\begin{cases} \vec{\nabla} \wedge \vec{E} = -j\omega \vec{B} \\ \vec{\nabla} \cdot \vec{B} = 0 \\ \vec{\nabla} \wedge \vec{B} = \mu \left(\vec{j} + j\omega \varepsilon \vec{E} \right) \\ \varepsilon \vec{\nabla} \cdot \vec{E} = \rho \end{cases}$$

et
$$\vec{\nabla} \cdot \vec{j} + j\omega \rho = 0$$

^{3.} https://epfl.wikispaces.com/file/view/REA_Polycop_0708.pdf

Cas particulier des antennes

Maxwell

Conditions aux limites:

- composantes tangentielles du champ électrique continu $\vec{n} \wedge (\vec{E}_2 - \vec{E}_1) = \vec{0}$
- champ électrique nul dans le conducteur,
- par conséquent, $\vec{E}_t = \vec{0}$ sur un conducteur
- composantes normales du champ magnétique continues $-\vec{n} \wedge (\vec{H}_2 - \vec{H}_1) = \vec{i}$ si un courant de surface existe.
- réflexion normale à une surface métallique introduit une rotation de 180° de la phase (incident + réféchi = 0).



Bilan de liaiso

Maxwell

Au-delà du dipi

Combinaison de dipôles – polar.

Guide d'on

d'antenn

.

synthétiq

synthetiq

Principe o

 $ec{S} = ec{E} \wedge ec{H}^* = rac{1}{\eta} |ec{E}|^2 ec{e}_r$

qui est purement radiale

La norme de ce vecteur $\vec{S} \cdot \vec{e_r}$ donne la densité de puissance rayonnée.

Intensité de rayonnement (indépendante de la distance)

$$U(\vartheta,\varphi)=r^2\cdot\vec{S}\cdot\vec{e_r}$$

 \vec{E} , \vec{B} et \vec{S} sont orthogonaux et forment un trièdre direct, \vec{S} et \vec{k} sont colinéaires pour une onde plane (champ lointain)

Champ proche/champ lointain

.....

Bilan de liaiso

Maxwell

Au-delà du dinôl

Combinaison de dipôles – polar.

Guide d'ond

Récesur

Ouvertur

synthétiq

Principe o

- Champ proche : zone où un champ évanescent existe $(Im(k) \neq 0)$
- Champ lointain : onde purement propagative, pas de champ évanescent $(k \in \mathbb{R})$

$$d_{\rm ff}\simeq {2D^2\over\lambda}$$

avec D la plus grand dimension de l'antenne.

ullet amplitude du champ propagatif décroît en 1/r

Exercice : à quelle distance caractériser une antenne parabole de 60 cm fonctionnant à 10 GHz ? une antenne cornet de 4 cm de côté ?

Maxwell

A., 3212 3., 3120

Combinaison d

Guide d'ond

Réceaux

Ouvertur

synthétiq

Principe de réciprocité

Calcul du diagramme de rayonnement du dipôle

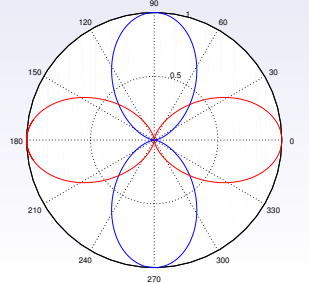
La source isotrope (dBi) :

$$\vec{E}(\vartheta, f) = \frac{\exp(-j \cdot k \cdot r)}{r\sqrt{2\pi}} \vec{u_{\vartheta}}$$

Le dipole de longueur L:

$$\vec{E}(\vartheta, f) = \frac{\eta \cdot jk}{4\pi} \cdot \frac{\exp(-j \cdot kr)}{r} \cdot \frac{I_0}{\cos(\vartheta)} \cdot \cos\left(\frac{kL}{2} \cdot \sin(\vartheta)\right) \vec{u_{\vartheta}}$$

Si $L = \lambda/2$, alors le gain d'antenne est 2,15 dBi



Calcul du diagramme de ravonnement du dipôle

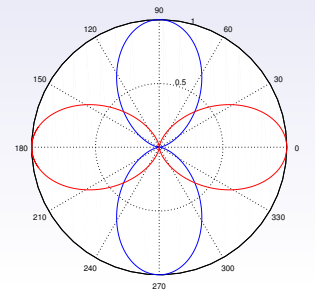
La source isotrope (dBi) :

$$\vec{E}(\vartheta, f) = \frac{\exp(-j \cdot k \cdot r)}{r\sqrt{2\pi}} \vec{u_{\vartheta}}$$

Le dipole de longueur L :

$$\vec{E}(\vartheta, f) = \frac{\eta \cdot jk}{4\pi} \cdot \frac{\exp(-j \cdot kr)}{r} \cdot \frac{I_0}{\cos(\vartheta)} \left(\cos\left(\frac{kL}{2} \cdot \sin(\vartheta)\right) - \cos\left(\frac{kL}{2}\right)\right) \vec{u_{\vartheta}}$$

Si $L = \lambda/2$, alors le gain d'antenne est 2,15 dBi



Calcul de l'impédance du dipôle

Maxwell

Pour une antenne faite de conducteurs idéaux,

$$R_{rad} = \mathbb{R}e(Z) = \frac{P_{rad}}{I_{max}^2}$$

Dipôle infinitésimal : $|\vec{E}_{\vartheta}| \propto \sin(\vartheta)$ donc

$$P_{rad} = \frac{1}{2} \int_{S} \vec{S} \cdot \vec{e_r} \cdot dS = \frac{1}{2} \int_{0}^{2\pi} d\varphi \int_{0}^{\pi} \underbrace{r^2 \sin(\vartheta)}_{\text{élément infinitésimal de surface}} \cdot \vec{S} \cdot \vec{e_r} \cdot d\vartheta$$

$$P_{rad} = 2\pi \int_0^{\pi} \sin(\vartheta) \cdot \frac{1}{2} \cdot \left(\frac{\eta}{4\lambda^2} I_0^2 \Delta z^2 \sin^2(\vartheta)\right) \cdot d\vartheta = \frac{\pi}{6} \cdot \eta I_{max}^2 \left(\frac{\Delta z}{\lambda}\right)^2$$

$$\Rightarrow R_{rad} = rac{\pi}{6} \eta \left(rac{\Delta z}{\lambda}
ight)^2 ext{ avec } \eta \simeq 377 \; \Omega \simeq 120 imes \pi \; \Omega$$

⇒ possiblité d'ajuster la longueur du dipôle idéal pour adapter son impédance à la charge et à l'environnement

$$(\Delta z = \lambda/2 \Rightarrow R_{rad} = 197/4 = 49 \Omega$$
 au lieu de 73 Ω pour un dipôle)

Noter que : $\int_0^{\pi} \sin^3(x) dx = \left[\frac{1}{12}\cos(3x) - \frac{3\cos(x)}{4}\right]_0^{\pi} = 4/3$

Au-delà du dipôle

Bilan de liaisor

Bilan de liaiso

Au-delà du dipôle

Combinaison de

Guide d'ond

Quvertur

synthétiqu

Principe de réciprocité

- un élément rayonnant qui remplace le câble entre émetteur-récepteur
- dimensions caractéristiques : $\lambda/2$ ou, en présence d'un plan métallique, $\lambda/4$ en utilisant les charges miroir,
- impédance, directivité, polarisation (NEC2, www.nec2.org)



Au-delà du dipôle

Bilan de liaiso

Dipôle

Au-delà du dipôle

Combinaison de dipôles – polar.

Guide d'ond

Ouverture

Synthétique

• un élément rayonnant qui remplace le câble entre émetteur-récepteur

- dimensions caractéristiques : $\lambda/2$ ou, en présence d'un plan métallique, $\lambda/4$ en utilisant les charges miroir,
- impédance, directivité, polarisation (NEC2, www.nec2.org)
- Polarisation linéaire (horizontale, e.g. TV)
- Polarisation linéaire (verticale, e.g. FM)
- Polarisation circulaire (mouvement, e.g. satellite)
- Polarisation circulaire (RHCP v.s LHCP)
- erreur de polarisation $\Rightarrow P_R \propto \cos(\vartheta)^2$



an

Bilan de liaiso

Maxwe

Au-delà du dipôle

Combinaison de dipôles – polar.

Guide d'onde

Keseaux

Ouvertur

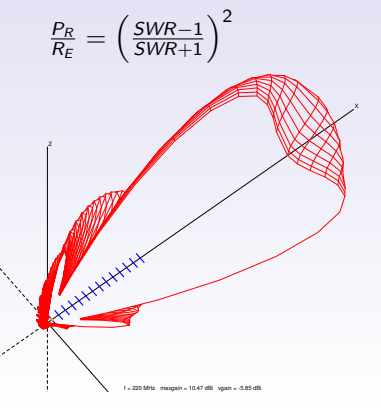
Synthétiqu

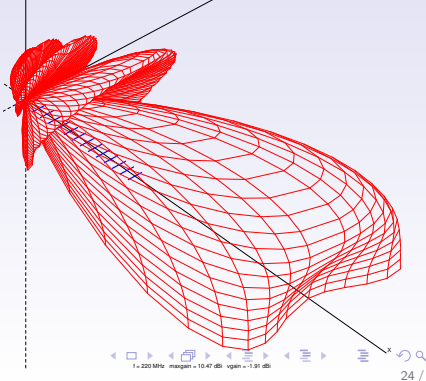
Principe réciprocit

Au-delà du dipôle

- un élément rayonnant qui remplace le câble entre émetteur-récepteur
- dimensions caractéristiques : $\lambda/2$ ou, en présence d'un plan métallique, $\lambda/4$ en utilisant les charges miroir,
- largeur de faisceau, lobes secondaires,

freq. Zr Zi SWR gain f/b phi theta 220 26.1 2.2 1.9 10.47 - 0 76.5



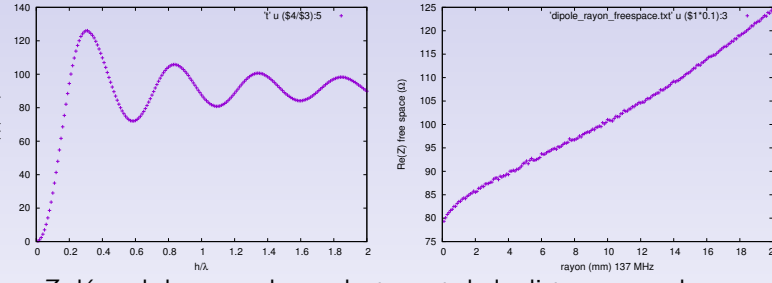


Simulations NEC (www.nec2.org)

Au-delà du dipôle

F.N

Du dipole idéal au "vrai" dipole



- Z dépend du rayon du conducteur et de la distance au sol
- Exemple de simulation sous NEC2 :

RP 0 72 72 0 0.00000E+00 0.00000E+00 5.00000E+00

CM dipole : GN=1 pour gnd plane, 0 pour free space CE GW 3 51 -5.4745E-01 0.00E-01 0.1E01 5.47450E-01 0.00E-01 0.1E01 0.1E-2 GF. 1 GN 1 26 0 1.00000E+00 0.00000E+00 0 0 1.37000E+02 1.00000E-00

5.00000E+00

Bilan de liaisor

Maxw

Au-delà du dipôle

Combinaison d

Guide d'onde

Ouverture

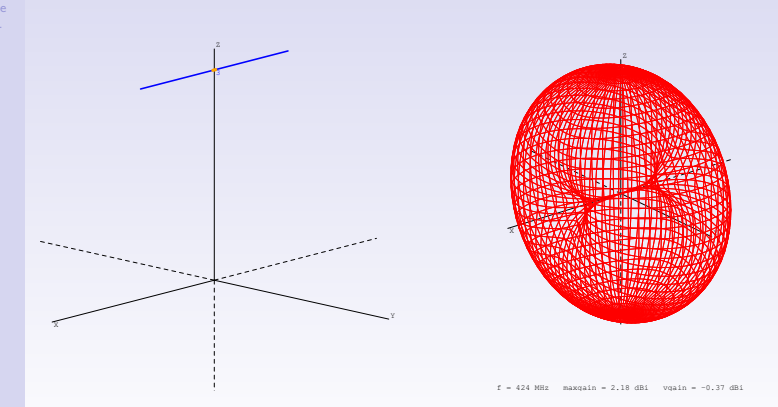
synthétiqu

Principe or réciprocite

Effet d'un plan de masse/sol

Diagrammes de rayonnement du dipôle (visualisation par xnecview)

• Espace libre : nulls dans l'axe du dipôle



Effet d'un plan de masse/sol

an

Bilan de liaiso

Maxwe

Au-delà du dipôle

Combinaison de dipôles – polar.

Guide d'onde

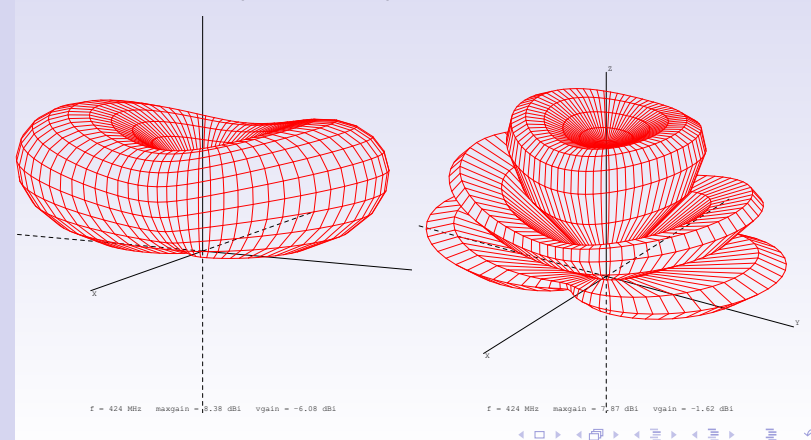
Ouverture

synthétiqu

Principe de réciprocité

Diagrammes de rayonnement du dipôle (visualisation par xnecview)

- Plan de masse : franges d'interférences
 ⇒ nombre de pétales = 2·hauteur/λ+1
- Nulls induisent perte de réception dans certaines directions



Combinaison de

dipôles - polar.

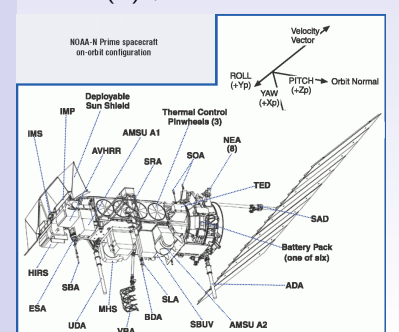
Polarisations circulaire

Passage de la polarisation linéaire à la polarisation circulaire : deux

dipôles croisés déphasés de 90°.

 Un interlocuteur est mobile (drone, satellite ...),

 la puissance transmise entre deux interlocuteurs en polarisation linéaire dépend de $\cos(\vartheta)^2$,





http://jcoppens.com/ant/qfh/img/noaa17qfh.jpg

Combinaison de

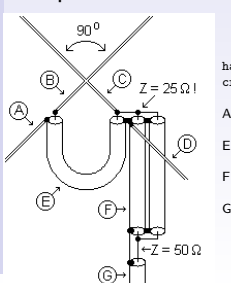
dipôles - polar.

Polarisations circulaire

Passage de la polarisation linéaire à la polarisation circulaire : deux

dipôles croisés déphasés de 90°.

- Un interlocuteur est mobile (drone, satellite ...),
- la puissance transmise entre deux interlocuteurs en polarisation linéaire dépend de cos(ϑ)²,
- donc perte de signal si les polarisations sont croisées.



hans.mayer.tv/html/ crossdipole137.html

A, B, C, D : 510 mm

E : 50 Ω. 361 mm

F : 75 Ω \times 2, 361 mm

 $G:50\ \Omega$



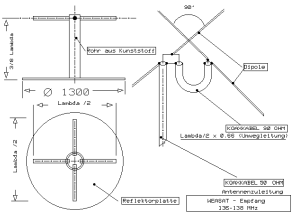
Combinaison de

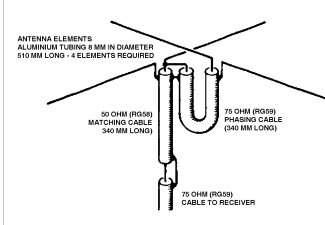
dipôles - polar.

Combiner des dipôles

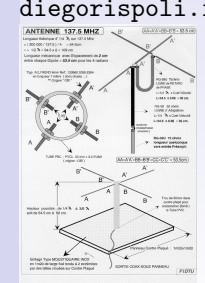
Créer une polarisation circulaire à partir de deux polarisations linéaires :

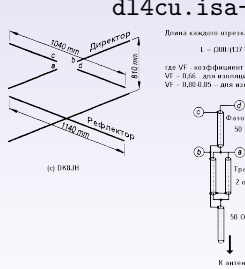


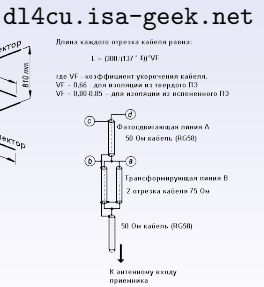




diegorispoli.it







emgo.cz 90° $Z = 25 \Omega$! ←7 = 50 O

f5fyu.free.fr

radio-sky.ru

Bilan de liaison

Bilan de liaisoi

Maxwe

Au-delà du din

Combinaison de dipôles – polar.

Guide d'ond

d'antenne

Ouverture

synthétiqu

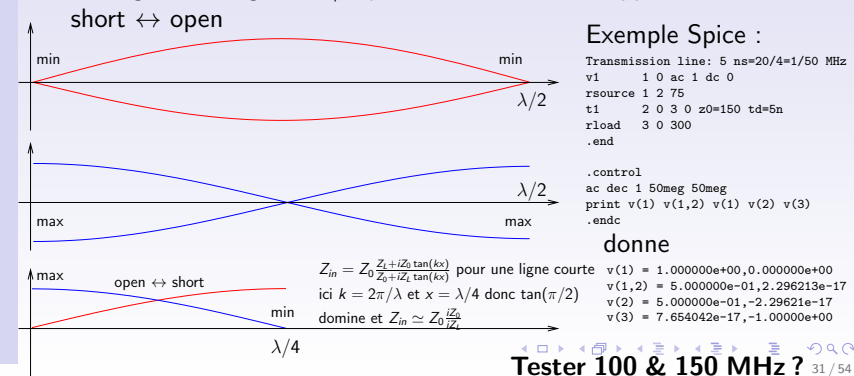
Principe d réciprocité

Transformateur d'impédance

Un segment de cable coaxial d'impédance caractéristique se comporte comme transormateur d'impédance entre Z_{in} et Z_{out} tel que $Z_0 = \sqrt{Z_{in} \cdot Z_{out}}$ (E. Rubiola, pp.32-37)

Théorie:

- les conditions limites d'une ligne de transmission se reproduisent tous les $\lambda/2$ (distance entre nœuds et ventre de l'onde stationnaire)
- ullet une ligne de longueur $\lambda/4$ présente la condition opposée :



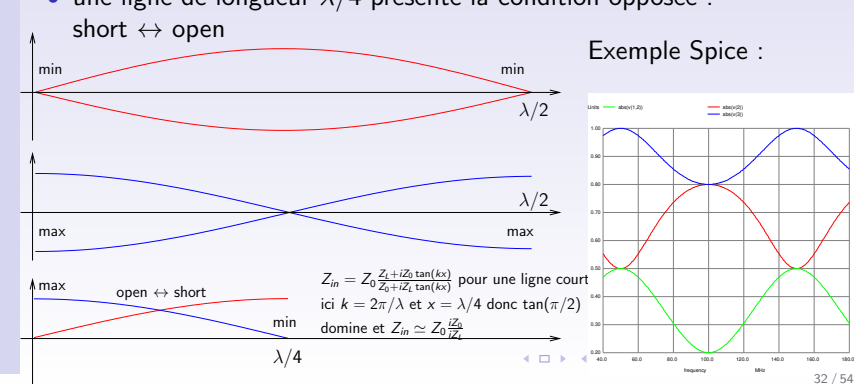
Transformateur d'impédance

Un segment de cable coaxial d'impédance caractéristique se comporte comme transormateur d'impédance entre Z_{in} et Z_{out}

tel que $Z_0 = \sqrt{Z_{in} \cdot Z_{out}}$

Théorie:

- les conditions limites d'une ligne de transmission se reproduisent tous les $\lambda/2$ (distance entre nœuds et ventre de l'onde stationnaire)
- \bullet une ligne de longueur $\lambda/4$ présente la condition opposée :



Combinaison de dipôles – polar.

Guide d'onde

Guide a ona

D/

d'antenne

Ouverture synthétique

réciprocité

Au-delà du dinô

Combinaison de dipôles – polar.

Guide d'onde

Réseaux

Ouverture

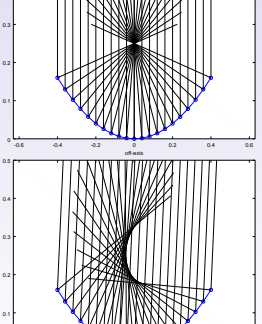
synthétiqu

Principe (réciprocit

Parabole

- Augmenter la surface collectrice A de l'antenne (diamètre d) et concentrer la puissance au foyer de la parabole
- Parabole : tout faisceau incident est concentré vers le foyer
- tête excentrée pour limiter la couverture du récepteur ⁴
- architecture Cassegrain : réflecteur secondaire au foyer et récepteur au centre pour limiter les lobes latéraux
- $G = 4\pi A/\lambda^2 \times e = (\pi d/\lambda)^2 \times e$, $e \in [0, 5..0, 7]$
- ouverture angulaire : $\vartheta \simeq \lambda/d$





Plan

Bilan de liaiso

Dian ac nas

.....

Au-dela du dipole

Combinaison de dipôles – polar.

Guide d'ond

Réseaux

Ouverture

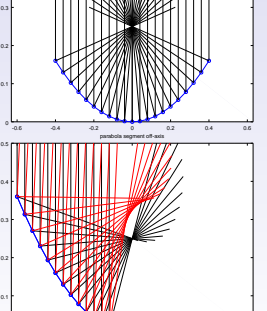
synthétiqu

Principe réciprocit

Parabole

- Augmenter la surface collectrice A de l'antenne (diamètre d) et concentrer la puissance au foyer de la parabole
- Parabole : tout faisceau incident est concentré vers le foyer
- tête excentrée pour limiter la couverture du récepteur ⁵
- architecture Cassegrain : réflecteur secondaire au foyer et récepteur au centre pour limiter les lobes latéraux
- $G = 4\pi A/\lambda^2 \times e = (\pi d/\lambda)^2 \times e$, $e \in [0, 5..0, 7]$
- ouverture angulaire : $\vartheta \simeq \lambda/d$





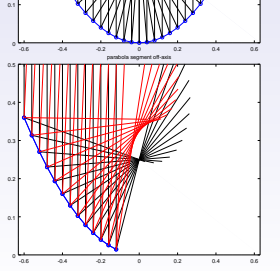
Combinaison de dipôles - polar.

Parabole

- Augmenter la surface collectrice A de l'antenne (diamètre d) et concentrer la puissance au foyer de la parabole
- Parabole : tout faisceau incident est concentré vers le foyer
- tête excentrée pour limiter la couverture du récepteur 6
- architecture Cassegrain : réflecteur secondaire au foyer et récepteur au centre pour limiter les lobes latéraux
- $G = 4\pi A/\lambda^2 \times e = (\pi d/\lambda)^2 \times e$, $e \in [0, 5..0, 7]$
- ouverture angulaire : $\vartheta \simeq \lambda/d$

Exercice : calculer le gain d'une parabole de 60 cm de diamètre opérant à 10 GHz.

Idem pour l'antenne de Goldstone (70 m de diamètre). Dans les deux cas, quelle est l'ouverture angulaire du faisceau? Comparer avec les recommandations de l'ITU sur la position d'un satellite géostationnaire position nominale en longitude . sa (https://www.itu.int/dms_pubrec/itu-r/rec/s/



R-REC-S.484-3-199203-I!!PDF-F.pdf)

◆□ > ◆圖 > ◆臺 > ◆臺 > http://6ww.faculty.virginia.edu/rwoclass/astr511/lec16-teloptics-f03.html

Bilan de liaison

Maxwell

Au-delà du diné

Combinaison de dipôles – polar.

Guide d'onc

d'antonnos

Ouverture

synthétiq

Antennes actives

- Les cables induisent des pertes et des parasites (à 1,0 GHz, RG316 perd 12,5 dB/10 m et 19 dB/10 m à 3 GHz).
- Amplifier le signal incident au plus tôt.
- Antennes actives partagent sur un même cable alimentation et signal: T de polarisation (bias-T)





Antenne active GPS sans son filtre passe bande. Noter l'inductance sérigraphiée pour polariser l'amplificateur.

Bilan de liaison

IVIAXWEII

Au-delà du dipô

Combinaison de dipôles – polar.

Guide d'ond

u unconne

Ouverture

synthétiq

Antennes actives

- Les cables induisent des pertes et des parasites (à 1,0 GHz, RG316 perd 12,5 dB/10 m et 19 dB/10 m à 3 GHz).
- Amplifier le signal incident au plus tôt.
- Antennes actives partagent sur un même cable alimentation et signal: T de polarisation (bias-T)



$$\mathsf{AC+DC} \xrightarrow{|Z_L| = L \cdot \omega} \mathsf{DC}$$

$$= |Z_C| = 1/(C \cdot \omega)$$

Antenne active GPS sans son filtre passe bande. Noter l'inductance sérigraphiée pour polariser l'amplificateur.

Guide d'onde

Guide d'onde et fréquence de coupure

• Cuido d'o

 Guide d'onde : empêcher l'onde de rayonner dans toutes les directions mais la canaliser dans une direction privilégiée.

 Un guide d'onde présente une fréquence de coupure liée au confinement du champ électromagnétique entre les parois du

conducteur 7.

 Guide d'onde circulaire : champ nul aux parois ⇒ longueurs d'ondes autorisées déterminées par les racines des polynomes de Bessel

- Guide d'onde rectangulaire : conditions d'ondes stationnaires dans les deux axes du guide.
- Exemple de la cantenna : est-il possible de canaliser un signal wifi avec une boite de Pringles?



Antenne cornet (ISM, 5,8 GHz)

an

Bilan de liaisor

Maxwell

Au-delà du dipôl

Combinaison de dipôles – polar.

Guide d'onde

Réseaux

0

synthétiq

Principe

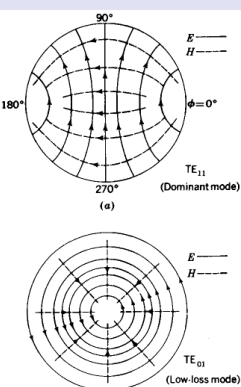
Guide d'onde et fréquence de coupure

• Guide d'onde : empêcher l'onde de rayonner dans toutes les directions mais la canaliser dans une direction privilégiée.

 Un guide d'onde présente une fréquence de coupure liée au confinement du champ électromagnétique entre les parois du conducteur⁷

 Guide d'onde circulaire : champ nul aux parois ⇒ longueurs d'ondes autorisées déterminées par les racines des polynomes de Bessel

- Guide d'onde rectangulaire : conditions d'ondes stationnaires dans les deux axes du guide.
- Exemple de la cantenna : est-il possible de canaliser un signal wifi avec une boite de Pringles?



Guide d'onde et fréquence de coupure

Bilan de liaison

Dinôle

A 1.12 1 12 01

Combinaison de dipôles – polar.

Guide d'onde

Réseaux

O

Ouverture synthétiqu

Principe de réciprocité

- Guide d'onde : empêcher l'onde de rayonner dans toutes les directions mais la canaliser dans une direction privilégiée.
- Un guide d'onde présente une fréquence de coupure liée au confinement du champ électromagnétique entre les parois du conducteur⁷.
- Guide d'onde circulaire : champ nul aux parois ⇒ longueurs d'ondes autorisées déterminées par les racines des polynomes de Bessel
- Guide d'onde rectangulaire : conditions d'ondes stationnaires dans les deux axes du guide.
- Exemple de la cantenna : est-il
 possible de canaliser un signal
 wifi avec une boite de Pringle

Mode designation	Eigenvalues		Cutoff
	k'm	k _{nr}	wavelength, λ_{sc}
TM ₀₁		2.405	2.61r ₀
TE ₀₁ (low loss)	3.832		$1.64r_0$
TMoz		5.520	$1.14r_0$
TE ₀₂	7.016		$0.89r_0$
TE ₁₁ (dominant)	1.840		3.41r ₀
TM ₁₁		3.832	1.64r ₀
TE ₁₂	5.330		$1.18r_0$
TM ₁₂		7.016	$0.89r_0$
TE ₂₁	3.054		$2.06r_{o}$
TM ₂₁		5.135	$1.22r_0$
TE22	6.706		$0.94r_{0}$
TE ₃₁	4.201		$1.49r_0$
TM ₃₁		6.379	0.98ro
TE ₄₁	5.318		$1.18r_0$
TM ₄₁		7.588	$0.83r_0$

6.416

0.9850

wifi avec une boite de Pringles ? $\lambda = 300/f[MHz]$, $r_0 \ge \lambda/3.41$

TEs:

Antennes

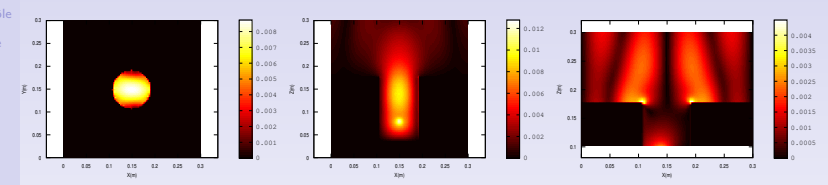
J.-M Friedt

Guide d'onde

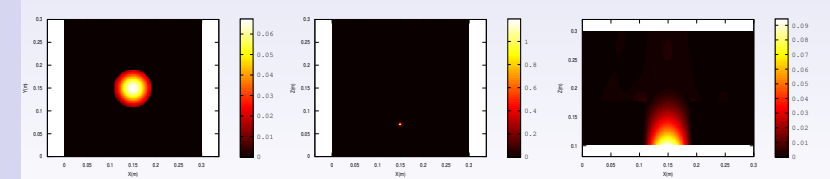
Modélisation de la cantenna

- NEC=méthode des moments
- FDTD (Finite-difference time-domain)=modélisation résolue en temps 8

2450 MHz, monopole au bord



2450 MHz, monopole au fond



T. Laroche, Frecinisvs

8. K. Yee Numerical solution of initial boundary value problems involving Maxwell's equations in isotropic media, IEEE Trans. on Antennas and Propagation 14 (3), pp.90 302307 (1966) 41 / 54

Modélisation de la cantenna

Dilaa da Italiaa

Bilan de liaison

Maxwell

Au-delà du dipôle

Combinaison de dipôles – polar.

Guide d'onde

D.:-----

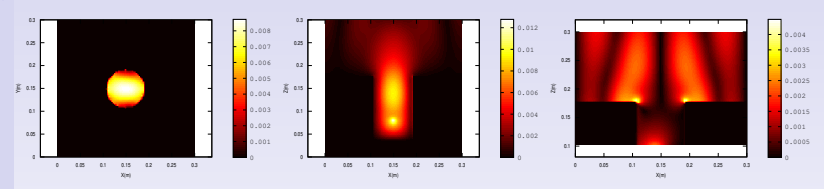
Ouverture

Ouverture synthétiqu

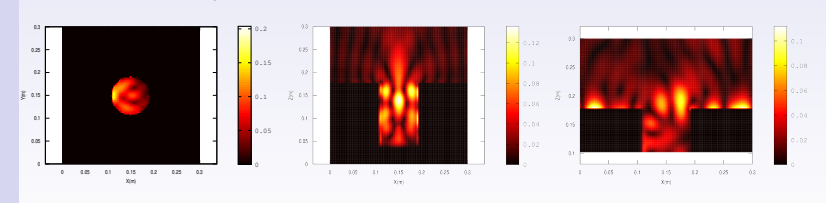
Principe de réciprocité

- NEC=méthode des moments
- FDTD=modélisation résolue en temps

2450 MHz, monopole au bord



5800 MHz, monopole au bord



T. Laroche, Frec|n|sys

Réseaux d'antennes

Réseaux d'antennes

• La taille d'une antenne est physiquement limitée par l'intégrité de la structure ou son encombrement,

- Mise en réseau d'antennes pour "simuler" une antenne de très grande dimension,
- l'ouverture ϑ du faisceau est de l'ordre de $\sin(\vartheta) = \lambda/D \simeq \vartheta$
- \Rightarrow augmenter D la taille d'antenne pour réduire ϑ et augmenter la surface collectrice
- La fonction de transfert de chaque élément rayonnant est convoluée avec la fonction de réseau

Translater une antenne induit un déphasage $\exp(j \cdot k\vec{u} \cdot \vec{O_i})$

$$ec{E}_i(ec{u}) = ec{E}_0(ec{u}) \cdot a_i \cdot \exp(j \cdot k ec{u} \cdot ec{O}_i)$$

 $\Rightarrow ec{E}_T(ec{u}) = \sum_i ec{E}_i(ec{u}) = \sum_i ec{E}_0(ec{u}) \cdot a_i \exp(j \cdot k ec{u} \cdot ec{O}_i)$

Facteur de réseau : $\sum \exp(j2\pi\tau_i\Delta\nu) = \exp(j\pi(N+1)\tau\Delta\nu) \frac{\sin(\pi N\tau\Delta\nu)}{\sin(\pi\tau\Delta\nu)}$

pour un réseau linéaire équidistant de d $(\Delta \nu = \frac{d}{\lambda}, \tau = \sin(\vartheta))$

Réseaux d'antennes isotropes

réseau qui devient

Réseaux d'antennes

⇒ il s'agit du même résultat qu'auparavant, mais avec un translation de l'argument $\tau \Delta \nu$: balayage électronique de faisceau (rappel : $\tau = \sin(\vartheta)$).

 $R(\tau) = \exp(j\pi(N+1)\cdot(\tau\Delta\nu - \phi/(2\pi)))\frac{\sin(\pi\cdot N(\tau\Delta\nu - \varphi/(2\pi)))}{\sin(\pi\cdot(\tau\Delta\nu - \varphi/(2\pi)))}$

Ajouter une phase $m \cdot \varphi_0$ sur l'antenne m se traduit par un facteur de

Exercice : dans le cas d'antennes isotropes, seul le facteur de réseau subsiste, puisque le diagramme de rayonnement d'antenne est unitaire dans toutes les directions.

Proposer un programme, sous GNU/Octave, qui trace le diagramme de rayonnement (P v.s ϑ) pour un réseau d'antennes équidistantes de $d = \lambda/2$ et $d = \lambda$.

Faire balayer le faisceau par ajout d'une phase fixe entre éléments adjacents.

Antennes

J.-M Friedt

Réseau d'antennes omnidirectionnelles

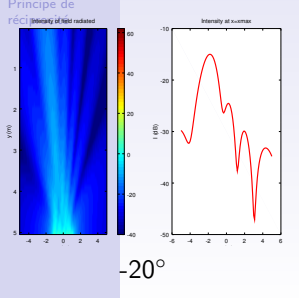
Réseaux

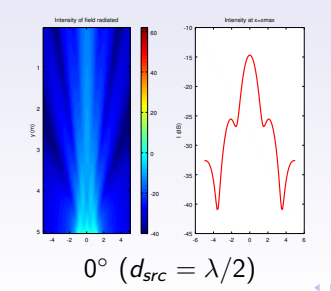
d'antennes

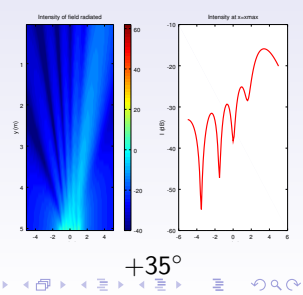
 dans le cas du réseau linéaire équidistant, chaque élément est déphasé par rapport à son voisin

 Introduire une phase entre les éléments rayonnants = diriger le faisceau (interférences constructives dans une direction et destructives dans les autres)

 ⇒ au lieu de mécaniquement déplacer le faisceau, balayage électronique pour modifier la direction de rayonnement







Simulation numérique (réseau)

Réseaux d'antennes

```
A(x,y) = \sum_{src} \frac{l_0}{d} \cdot \exp\left(j(\vec{k}\vec{r} + \varphi_{src})\right), avec d = |x - x_{src} + j(y - y_{src})|
              f=434e6: c = 3e8:
                                              % frequence de travail, et c0
              x = [-5:0.1:5]; y = [0.1:0.1:5]; % espace de simulation (en m)
                                              % longueur d'onde (en m)
              lambda=c/f:
              nhsrc=7
                                              % nombre de sources
Au-delà du dipôle dsrc=lambda/2;
                                              % espacement entre les sources
              theta = -20*pi/180;
                                              % ou 0, ou 35* pi/180;
              p=[1: nbsrc];
              position = (p-1)*dsrc - (nbsrc - 1)/2*dsrc; % position de la souce p
              phi = 2*pi*(p-1)*f*dsrc*sin(theta)/c;
              d1=zeros(length(x),length(y));% espace de la simuation
              for p=1:nbsrc
                                              % boucle sur les sources
                  for k=1:length(x)
                                              % boucle sur l'ordonnee
                       for l=1:length(y)
                                              % boucle sur l'abscisse
                           if (y(1)>0)
                              angle(k, l) = atan((x(k) - position(p))/y(l));
                              else angle (k, l) = pi/4;
                           end
                           distance=abs(x(k)-position(p)+i*y(l));
                           if (distance >0)
                               vect\_onde = [2*pi/lambda*cos(angle(k,l)) 2*pi/lambda*sin(angle(k,l))];
                               r = [y(1) \times (k) - position(p)];
                               d1(k,l)=d1(k,l)+1/distance*exp(i*vect_onde*r'+i*phi(p))/nbsrc;
                           end
                      end
                  end
              end
              res1=abs(d1):
              subplot (122):
              plot(x,20*log10(res1(:,end)),'r', "linewidth", 2);
              title ("Intensity at x=xmax"): xlabel('x (m)'):ylabel('I (dB)'):
              subplot (121):
              imagesc(x,y,20*log10(flipud(res1')),[-40 62]);
              xlabel('x (m)'); ylabel('y (m)'); colorbar; title("Intensity of field radiated");
```

Ouverture synthétique

Rilan de liaison

Bilan de liaisor

Combinaison de

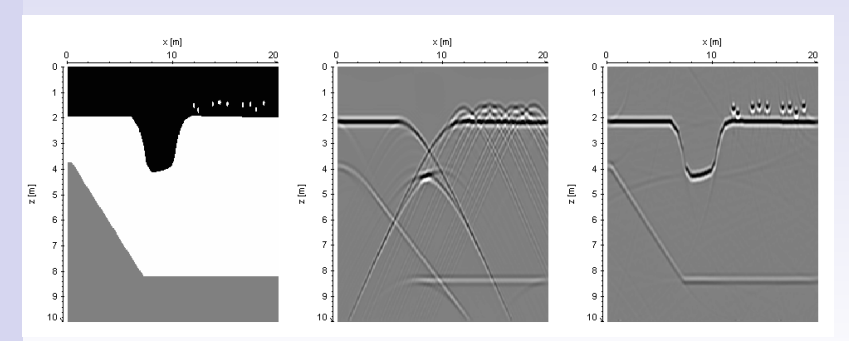
Guide d'on

Réseaux

Ouverture synthétique

Principe d

- Au lieu d'avoir N éléments rayonnants, déplacer un unique élément
- utilisé en RADAR (SAR⁹) et radioastronomie (source contrôlée/stable)
- Un réflecteur ponctuel apparaît comme une hyperbole puisque $t = \frac{2}{c} \sqrt{z_{cible}^2 + x_{radar}^2}$ i.e. $\frac{c^2}{4} \cdot t^2 x_{radar}^2 = z_{cible}^2 = cst$ (si c connu)



Effet de la migration en GPR (Reflex)

Ouverture synthétique

Bilan de liaiso

Maxwell

Au-delà du dipôl

Combinaison de dipôles – polar.

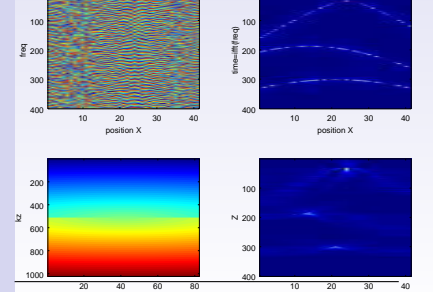
Guide d'on

Réseaux d'antenne

Ouverture synthétique

Principe de réciprocité

- Une antenne se déplace, généralement selon une trajectoire rectiligne et à vitesse constante $(d = v \cdot t)$...
- ... l'accumulation des signaux forme une antenne de longueur égale à la longueur de la trajectoire.
- Reconstruction d'image par algorithme de migration : les points d'une même source sont distrbués le long d'une hyperbole.
- Méthodes efficaces par passage dans le domaine de Fourier (Stolt ¹⁰, Kirchoff)



- 2 $\tau = \frac{1}{c}\sqrt{(x_s x)^2 + z_s^2}$
- 3 $k_z^2 = k^2 k_x^2 = f^2/c^2 k_x^2$: passage de x à k_x par FFT
- migration dans le domaine de Fourier (cartographie complexe)
- **6** $(k_x, f) \rightarrow (x, t)$ par iFFT 2D

```
p(1,:)=[3 \ 5]; p(2,:)=[-7 \ 28]; p(3,:)=[0 \ 45]; % position sources
       Antennes
                                 f=linspace(1000,3000,401);
                                                                                                                                               % frequences \Rightarrow dt=1/Df=10 ns \Rightarrow D=3*401=1203 m
                                                                                                                                               % position du RADAR
                                x = linspace(-20,20,41);
     J.-M Friedt
                                c=300; % m/us
                                 fs = (f(end) - f(1));
                                 pitch=diff(x); pitch=pitch(1);
                                 [u, v] = size(p);
                                 for pos=1:length(x)
                                      for freq=1:length(f)
                                                                                                                                               % longueur d'onde (en m)
                                          lambda=c/f(freq):
                                          s11(pos.freq)=0:
                                           for src=1:u
                                               angle=atan((x(pos)-p(src,1))/p(src,2)); % atan(dx/dy)
                                               distance=abs(x(pos)-p(src,1)+i*p(src,2));
                                               s11 (pos, freq) = s11 (pos, freq) + exp(+2*i*pi/lambda*(cos(angle)*p(src,2)+sin(angle)*(x(pos)-\rightarrow x) + exp(+2*i*pi/lambda*(cos(angle)*p(src,2)+sin(angle)*(x(pos)-angle)*(x(pos)-angle)*(x(pos)-angle)*(x(pos)-angle)*(x(pos)-angle)*(x(pos)-angle)*(x(pos)-angle)*(x(pos)-angle)*(x(pos)-angle)*(x(pos)-angle)*(x(pos)-angle)*(x(pos)-angle)*(x(pos)-angle)*(x(pos)-angle)*(x(pos)-angle)*(x(pos)-angle)*(x(pos)-angle)*(x(pos)-angle)*(x(pos)-angle)*(x(pos)-angle)*(x(pos)-angle)*(x(pos)-angle)*(x(pos)-angle)*(x(pos)-angle)*(x(pos)-angle)*(x(pos)-angle)*(x(pos)-angle)*(x(pos)-angle)*(x(pos)-angle)*(x(pos)-angle)*(x(pos)-angle)*(x(pos)-angle)*(x(pos)-angle)*(x(pos)-angle)*(x(pos)-angle)*(x(pos)-angle)*(x(pos)-angle)*(x(pos)-angle)*(x(pos)-angle)*(x(pos)-angle)*(x(pos)-angle)*(x(pos)-angle)*(x(pos)-angle)*(x(pos)-angle)*(x(pos)-angle)*(x(pos)-angle)*(x(pos)-angle)*(x(pos)-angle)*(x(pos)-angle)*(x(pos)-angle)*(x(pos)-angle)*(x(pos)-angle)*(x(pos)-angle)*(x(pos)-angle)*(x(pos)-angle)*(x(pos)-angle)*(x(pos)-angle)*(x(pos)-angle)*(x(pos)-angle)*(x(pos)-angle)*(x(pos)-angle)*(x(pos)-angle)*(x(pos)-angle)*(x(pos)-angle)*(x(pos)-angle)*(x(pos)-angle)*(x(pos)-angle)*(x(pos)-angle)*(x(pos)-angle)*(x(pos)-angle)*(x(pos)-angle)*(x(pos)-angle)*(x(pos)-angle)*(x(pos)-angle)*(x(pos)-angle)*(x(pos)-angle)*(x(pos)-angle)*(x(pos)-angle)*(x(pos)-angle)*(x(pos)-angle)*(x(pos)-angle)*(x(pos)-angle)*(
                                                              \hookrightarrow p(src.1))):
                                          end
                                     end
                                 end
                                 subplot(221);imagesc(arg(s11'));xlabel('position X');ylabel('freq')
                                 subplot(222):imagesc(abs(ifft(s11'))):xlabel('position X'):ylabel('time=ifft(freq)')
Quverture
synthétique
                                          Garcia et al., Stolt's f-k migration for plane wave ultrasound imaging.
                                          IEEE Trans Ultrason Ferroelectr Freq Control. 2013:60:1853-1867.
                                           http://www.biomecardio.com/pageshtm/publi/ieeeuffc13.pdf
                                RF=abs(ifft(s11'));
                                 [nt0, nx0] = size(RF);
                                 nt = 2^{nextpow2}(nt0)+1;
                                                                                                                                            % Zero-padding
                                nx = 2*nx0;
                                fftRF = fftshift(fft2(RF, nt, nx));
                                 f = (-nt/2:nt/2-1)*fs/nt;
                                 kx = (-nx/2:nx/2-1)/pitch/nx;
                                 [kx, f] = meshgrid(kx, f);
                                ERMv = c \% / sqrt(2);
                                fkz = ERMv*sign(f).*sqrt(f.^2/ERMv^2+kx.^2);
                                fftRF= interp2(kx,f,fftRF,kx,fkz,'linear',0);
                                migRF = ifft2(ifftshift(fftRF));%, 'symmetric');
                                migRF = migRF(1:nt0,1:nx0);
                                 subplot (224); imagesc (abs (migRF)); xlabel ('X'); ylabel ('Z')
                                 subplot (223); imagesc ((fkz)); xlabel ('kx'); ylabel ('kz')
                                                                                                                                                                                   ◆□▶ ◆圖▶ ◆불▶ ◆불▶
```

Principe de réciprocité

..

Bilan de liais

IVIAAWCII

Combinaison de

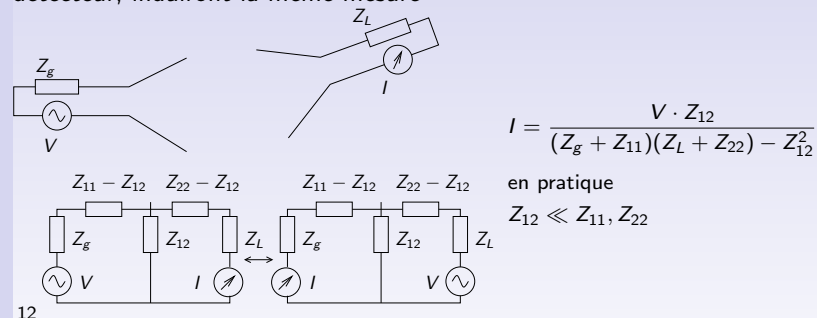
Guide d'ond

57

d'antennes

Synthétiqu

Principe de réciprocité "dans tout circuit formé de composants discrets linéaires, placer une source de tension/courant dans une branche et observer le courant/tension dans toute autre branche, puis échanger la source et le détecteur, induiront la même mesure" ¹¹



^{11.} C. Balanis, Antenna Theory – analysis and design (2nd Ed), J. Wiley & Sons (1997), p.127

^{12.} A.W. Rudge, The Handbook of Antenna Design, Vol. 1, IEE Electromagnetic Waves series (1982)

Bibliographie

lan

Bilan de liaiso

Maxwell

Au-dalà du dir

Combinaison de dipôles – polar.

Guide d'onde

57

Ouverture

Ouverture

Principe de réciprocité

- C. Balanis, Antenna Theory analysis and design (2nd Ed), J. Wiley & Sons (1997)
- 2 ARRL Antenna Handbook 19th Ed. (2004)
- 3 R.P. Feynman, R.B. Leighton & M. Sands, Feynman Lectures on Physics Volume 1 (2nd Ed.), Addison Wesley (2005)
- 4 J.D. Kraus & K.R. Carver, *Electromagnetics*, McGraw-Hill (1981)
- J.R. Mosig, Rayonnements et antennes, cours de l'EPFL, disponible à epfl.wikispaces.com/file/view/REA_Polycop_0708.pdf

De Maxwell au dipole infinitésimal

Dans un conducteur : $\vec{i} = \sigma \vec{E}$

Principe de réciprocité

Résolution de Maxwell compte tenu de \vec{j} et ρ : introduction des potentiels \vec{A} et V tel que $\mu \vec{H} = \vec{\nabla} \wedge \vec{A}$ et $\vec{E} = -j\omega \vec{A} - \vec{\nabla} V$ et la relation de jauge de Lorentz $\nabla \cdot \vec{A} + j\omega \mu \epsilon V = 0$.

Le dipole infinitésimal

Plan

Bilan de liaison

Maxwell

Au-delà du dip

Combinaison de dipôles – polar.

Guide d'ond

D.C.

Ouverture

synthétiqu

Principe de réciprocité Ainsi Maxwell se réduit aux équations d'onde

$$\begin{cases} \Delta \vec{A} + k^2 \vec{A} = -\mu \vec{j} \\ \Delta V + k^2 V = -\rho/\varepsilon \end{cases}$$

où $k^2 = \omega^2 \mu \varepsilon$, de solution

$$\begin{cases} \vec{A}(\vec{r}) = \frac{\mu}{4\pi} \int_{V} \vec{j}(\vec{r}) \frac{\exp(-j\dot{k}|\vec{r}-\vec{r'}|)}{|\vec{r}-\vec{r'}|} dV' \\ V(\vec{r}) = \frac{1}{4\pi\varepsilon} \int_{V} \rho(\vec{r}) \frac{\exp(-j\dot{k}|\vec{r}-\vec{r'}|)}{|\vec{r}-\vec{r'}|} dV' \end{cases}$$

en champ lointain si $|r'| \ll |r|$,

$$\vec{A}(\vec{r}) = \frac{\mu}{4\pi} \frac{\exp(-jkr)}{r} \int_{V} \vec{j}(\vec{r}) \exp(-jk\vec{e}_r \cdot r') dV'$$

et de \vec{A} on déduit

$$ec{E} = j\omega ec{e_r} \wedge (ec{e_r} \wedge ec{A})$$

ou (en posant $\eta=\sqrt{\mu_0/arepsilon_0}=120\pi=377~\Omega)$:

$$\vec{E}_{\vartheta} = -j\omega\vec{A}_{\vartheta}, \quad \vec{E}_{\varphi} = -j\omega\vec{A}_{\varphi}, \quad \vec{E}_{r} = \vec{H}_{r} = \vec{0}, \quad \vec{H}_{\vartheta} = -\vec{E}_{\varphi}/\eta, \quad \vec{H}_{\varphi} = \vec{E}_{\vartheta}/\eta$$

Guide d'ond

Réseaux

synthétiqu

synthetiqu

Principe de réciprocité $\begin{cases} E_{\vartheta}(r,\vartheta,\varphi) = \frac{-j\eta}{2\lambda} \cdot \frac{\exp(-jkr)}{r} \vec{e}_{\vartheta} \cdot \int_{V} \vec{j}(\vec{r}) \exp(-jk\vec{e}_{r} \cdot r') dV' \\ E_{\varphi}(r,\vartheta,\varphi) = \frac{-j\eta}{2\lambda} \cdot \frac{\exp(-jkr)}{r} \vec{e}_{\varphi} \cdot \int_{V} \vec{j}(\vec{r}) \exp(-jk\vec{e}_{r} \cdot r') dV' \end{cases}$

Courant $I = I_0 \cos(\omega t)$ périodique dans un élément infiniment court Δz pour simplifier l'intégrale :

$$\vec{j} = \vec{e_z} I_0 / S$$

avec S la section du dipôle et puisque le volume vaut $S \cdot dz$, l'intégrale devient (argument de l'exponentielle nul) $I\Delta z\vec{e_z}$ et

$$\vec{A}(r) = \frac{\mu I_0 \Delta z}{4\pi} \frac{\exp(-j \cdot kr)}{r} \vec{e_z} \Rightarrow \begin{cases} \vec{E_{\vartheta}} = \frac{j\eta}{2\lambda} I_0 \Delta z \frac{\exp(-j \cdot kr)}{r} \sin(\vartheta) \\ \vec{E_{\varphi}} = 0 \end{cases}$$

null en $\vartheta=0$ et puissance maximum rayonnée vers $\vartheta=\pi/2$